

斐伊川の河床変動の数値シミュレーション

鳥取大学 工学部

正員

道上 正規

鳥取大学 工学部

正員

鈴木 幸一

シンワ技研コンサルタント(株) ○正員

横谷 浩

1. はじめに わが国の河川では、治水あるいは利水を目的として人工河川といってよほどに人工的な構造物が多数設置されているため、著しい河床の変動はこれら構造物の機能や安定性を脅かすので大きな問題となる。本研究では、建設省出雲工事事務所の資料を解析することによって最近の斐伊川の実態、とくに土砂收支および河床変動の実態を明らかにした。また、実測の河床変動および流砂量を数値シミュレーションによって説明することを試みた。

2. 土砂環境の実態 斐伊川は、図-1に示すように島根県東部に位置し、赤川、三刀屋川、久野川等の支川を合流せしめ道湖流入後、中海に流入し境水道を経て日本海に注いでいる。斐伊川の河床は砂防工事の行なわれていない昭和25年以前は河道全域において上昇していたが、昭和41年河床を基準として各年の河床の変動量を示した図-2にみられるように、砂防工事の影響の現れれた昭和40年代は採砂の盛んな時期でもあり、全域で河床が低下している。昭和49年の採砂禁止に伴い河口～10km区間の河床低下はとり現在ではむづかながら上昇している。しかし、伊豆床固め工(23.4km)下流部では現在でも河床低下が続いている。この床固め工下流部の河床低下は除外して下流へ河床低下をもたらしてきている。つぎに、宍道湖への流

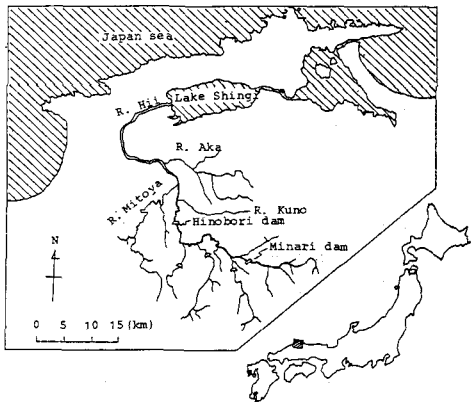


図-1 斐伊川の流域図

出土砂については、砂防工事の影響の現れれた昭和28年以前は、50～70万m³/年程度であったと推定されるが、28年以後は砂防工事の影響によって20万m³/年程度に急減した。さらに、河道からの大量の採砂により6万m³/年までに減少したが、昭和49年に採砂が禁じられてから昭和55年までは16万m³/年まで回復している。最近の河床変動および流砂量について、以下で数値シミュレーションを行なう。

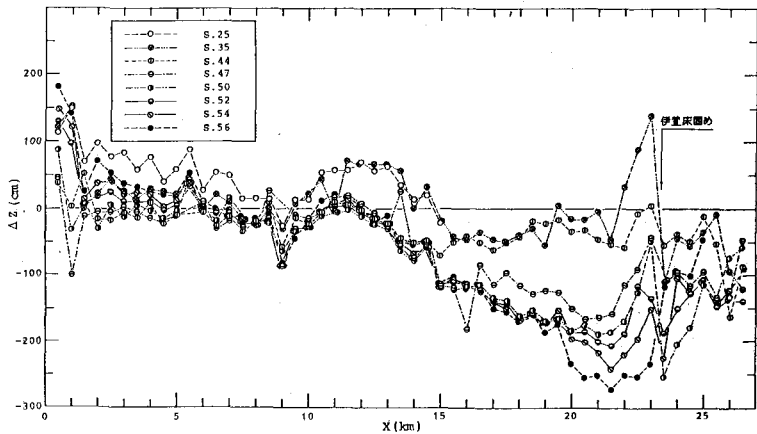


図-2 昭和41年河床を基準とした河床変動量

3. 河床変動および流砂量の数値シミュレーションの方法

斐伊川における最近6年間の河床変動および流砂量について数値シミュレーションを行なうが、計算に際して対象河道を図-3に示すように斐伊川河口(宍道湖流入部)0 km～上流29 kmまでとし、この区間を43区間に分割する。昭和50年12月実測河床を初期条件とし、昭和51～56年の源光寺(5 km)Q_g、町上(赤川)Q_a、三刀屋(三刀屋川)Q_m、木次(28.4 km)Q_uの各地点の日流量を用いて次のようく計算区間での流量Q_iを与える。

$$0 \text{ km} \sim 20 \text{ km} : Q = Q_g, \quad 20 \text{ km} \sim 26 \text{ km} : Q = Q_g - Q_a,$$

$$26 \text{ km} \sim 28 \text{ km} : Q = Q_g - Q_a - Q_m,$$

$$28 \text{ km} \sim 29 \text{ km} : Q = Q_u \text{ である。}$$

計算手順は、まず与えられた流量に対し井田の方法によって水面形の計算を行なう。この場合境界条件として最下流端断面において実道湖の日水位 H_s を与える。計算された水深から各断面における掃流力を求め、各断面における掃流砂量 $Q_B(I)$ を掃流砂量に關する井田・道上の式により求めらる。つぎに、流砂の連続式を差分化した式、

$$4Z(I) = \frac{1}{1-\lambda} \frac{1}{BS(I)} [BS(I+1)B_B(I+1) - BS(I)B_B(I)] \frac{\Delta t}{\Delta x} \quad (1)$$

を用いて河床変動量 $\Delta Z(I)$ を計算する。ここに、 BS は河床幅、 B_B は単位幅当りの掃流砂量で $Q_B = BS \cdot B_B$ である。また、 Δt は計算時間間隔で原則として $\Delta t = 24$ 時間であるが、流量が少い場合（源光寺での流量 Q_g が、 $Q_g > 1000 \text{ m}^3/\text{sec}$: $\Delta t = 1$ 時間、 $1000 \text{ m}^3/\text{sec} > Q_g > 100 \text{ m}^3/\text{sec}$: $\Delta t = 3$ 時間）、此を小さくした。 Δx は区間距離であつて図-3 に示すように原則として $\Delta x = 1 \text{ km}$ としたが、河床変動が大きい床固め近くでは $\Delta x = 200 \text{ m}$ とした。入は秒の空隙率である。なお、上流の日置ダムからの掃流砂の越砂はないとして、境界条件として最上流端断面からの流入砂量はないとするが、支川からの流入砂は支川の流量および河道条件を考慮してその量を計算する。河床変動の計算にあたつては河床砂は粒径 2 mm の均一砂とした。また、本川工事地点の砂粒径の加積曲線を用いて実道湖への流入砂量（堆進砂を含む）を計算したが、その隙隙遊砂量式としては道上の式を用いた。

4. 數値シミュレーションの結果 昭和51年から2年後（S.52）、4年後（S.54）および6年後（S.56）の斐伊川の河床変動に関する数値シミュレーションの結果と実測値を示したもののが図-4 である。全体的に実測値と計算値が比較的よく一致していることがわかるが、とくに、河床変動の著しい伊豆床固め工の下流部の河床低下についてもよくシミュレートしている。また、各断面を通過する掃流砂の計算値が図-5 に示されているが、

斐伊川定期横断測量結果より得られた値と比較的よく一致していることが認められる。実道湖への演出土砂についての計算結果は、表-1 のようになり実測値の8割程度と近づめになつていいが、実測の測量方法等を考えると、かなりの精度でシミュレートできているといえようが、今後、河床砂を混合砂として河床変動計算をある必要がある。

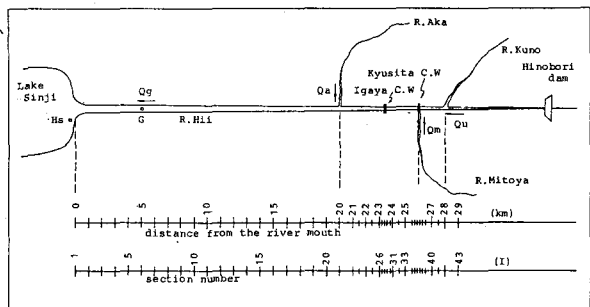


図-3 計算断面

表-1 実道湖への流出砂量

年	シミュレーション結果 (万m³)			実測値 (万m³)
	掃流砂量	堆進砂量	合計	
S.51	0.02	18.29	18.31	29.7
S.52	0.17	12.19	12.36	—
S.53	0.03	7.12	7.15	28.5
S.54	1.06	12.25	13.31	11.2
S.55	1.56	20.53	22.09	30.5
S.56	4.36	16.96	21.32	—
合計	7.20	87.34	94.54	99.9
平均	1.20	14.56	15.76	19.98

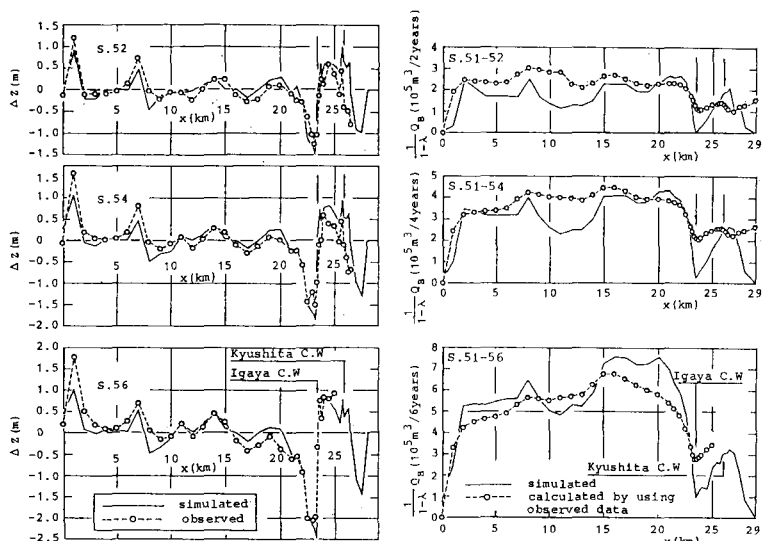


図-4 河床変動量

図-5 各断面通過掃流砂量